四个栽培棉种成熟纤维的电镜观察

SCANNING EIECTRON MICROSCOPIC OBSERVATION ON THE MATURE FIBRES OF FOUR CULTISPECIES IN COTTON

邱 竟 冯新爱 (中国农业科学院棉花研究所)

Qiu Jing Feng Xinai

(Cotton Research Institute, CAAS)

搞要 本文应用扫描电镜对成熟纤维的基部、中部、顶端进行了观察研究,四个栽培棉种的成熟纤维在形态上存在明显差别,表现出种间的遗传特征。在纤维顶端观察到有扭曲。纤维表面有似梭脊和沟槽的皱纹,它能增加单纤维间的接触面和磨擦力,对成纱有利。从纤维的断裂面上观察到纤维壁呈页状或片状的多层结构。

关键词 棉属栽培种,成熟纤维,扫描电镜

Key words Cultispedies in Cotton; Mature fibre; SEM

棉属 4 个栽培种纤维的发育过程及其形态,前人曾作过较多的研究和描述[1.6.7.6]。而对纤维不同部位的电镜观察以及有关图片资料,目前国内外很少见报道。为了更进一步了解棉纤维的形态特征及细微结构,利用扫描电镜对 4 个栽培棉种成熟纤维的基部、中部、顶端及横断面作了较为详细的观察比较,本文报道了观察结果。

1 材料与方法

观察材料:亚洲棉 (Cossypium arboreum) 为金坛中棉、定县小白秸棉、常熟鸡脚棉;草棉(G. herbaceum) 为金塔草棉;海岛棉(G. barbadeuse) 为7124、K178、5499;陆地棉(G. hirsutum) 为岱00、PD4381、郑284、运早。

1990年同时种植于本所试验田,在吐絮盛期,将棉株中部吐絮正常的铃连同铃壳采回。 选出位居铃室中部的子棉,再取着生在棉子垂轴中部的纤维为样。将纤维从种子表皮上小心取下,以获得完整的纤维基部。在显微镜下观察纤维扭曲数和将适量的纤维样品较均匀 地分布在两面胶带上,再固定于样品台上。经干燥后,用 IB-5 离子溅射仪喷铂。在日立 S-530 扫描电镜上观察并照相。

2 观察结果

2.1 纤维基部形态

棉纤维是由胚珠外珠被的部分表皮细胞延伸而成,成熟的纤维可分为基部、中部、顶端三个部分 (李正理,1979)[1]。纤维基部由脚、胫、膝等部分组成[2]。4 个栽培棉种成熟纤维基部形态有所不同,但是,均能观察到明显的脚(图版 I,9,10,11,12)。亚洲棉和草棉纤维基部的膝不明显(图版 I,9,10)。在部分海岛棉和陆地棉品种中能看到纤维基部的胫和膝(图版 I,11,12)。在亚洲棉(常熟鸡脚棉)的纤维基部,可以看到由于受周围莲座细胞挤压而形成的胫(图版 I,9)。

2.2 纤维顶端形态

从图版 I 图 1, 2, 3, 4 可见,成熟纤维顶端形态在种间差异较大。亚洲棉和草棉纤维顶端粗牡充实(图版 I, 1, 2)。海岛棉和陆地棉纤维顶端扁平(图版 I, 3, 4)。同时,在四个栽培棉种纤维的顶端均能观察到不同程度的扭曲现象,这与前人的报道有所不同^[3]。观察材料中海岛棉(K178)纤维顶端的扭曲比亚洲棉(定县小白秸棉)和草棉(金塔草棉)纤维顶端的扭曲更为明显(图版 I, 1, 2, 3)。

2.3 新维中部形态

纤维中部是纤维的主体部分,其形态和结构与纤维品质有关。亚洲棉和草棉成熟纤维中部的扭曲较少 (约 40 转/cm),并粗壮,纤维壁稍向中腔内凹 (图版 I, 5, 6);海岛棉和陆地棉纤维中部的扭曲较多 (约 78 转/cm),纤维边沿内巷,呈扁带状 (图版 I, 7, 8)。另外,在四个栽培棉种的纤维表面上均能观察到似校脊和沟槽的皱纹。亚洲棉 (常熟鸡脚棉) 纤维表面的皱纹较少,多沿向纵轴;海岛棉 (7124) 纤维的表面上有较多且近似平行并与纵轴形成一定角度的皱纹 (图版 II, 1, 2)。纤维表面的这种皱纹,能增加纤维间的接触面。

2.4 纤维斯面形态

成熟纤维内部的中腔干涸变扁,纤维壁的厚度因材料而异(图版 I , 4, 5, 6, 7)。在成熟纤维拉斯的横断面上可以清晰地观察到由巨原纤^[0]组成次生璧的多层结构,断裂面上呈现出页状或片状的分层,并能看到众多的小纤维束^[3](图版 I , 5, 6)。在本实验条件下,这种纤维的断裂面似乎比横切面(图版 I , 7) 更能清晰和直观地观察到纤维壁的结构。

3 讨论

观察结果表明,4个栽培棉种的成熟纤维在形态上存在明显差别,表现了棉腐种的遗传特征。对成熟纤维基部的形态,李正理曾作过描绘[1],而利用电镜研究纤维基部的形态,目前还未见报道。在本文中不同栽培棉种纤维基部的脚在扫描电镜观察下形态各异,为详细了解纤维的形态特征提供了图片资料。

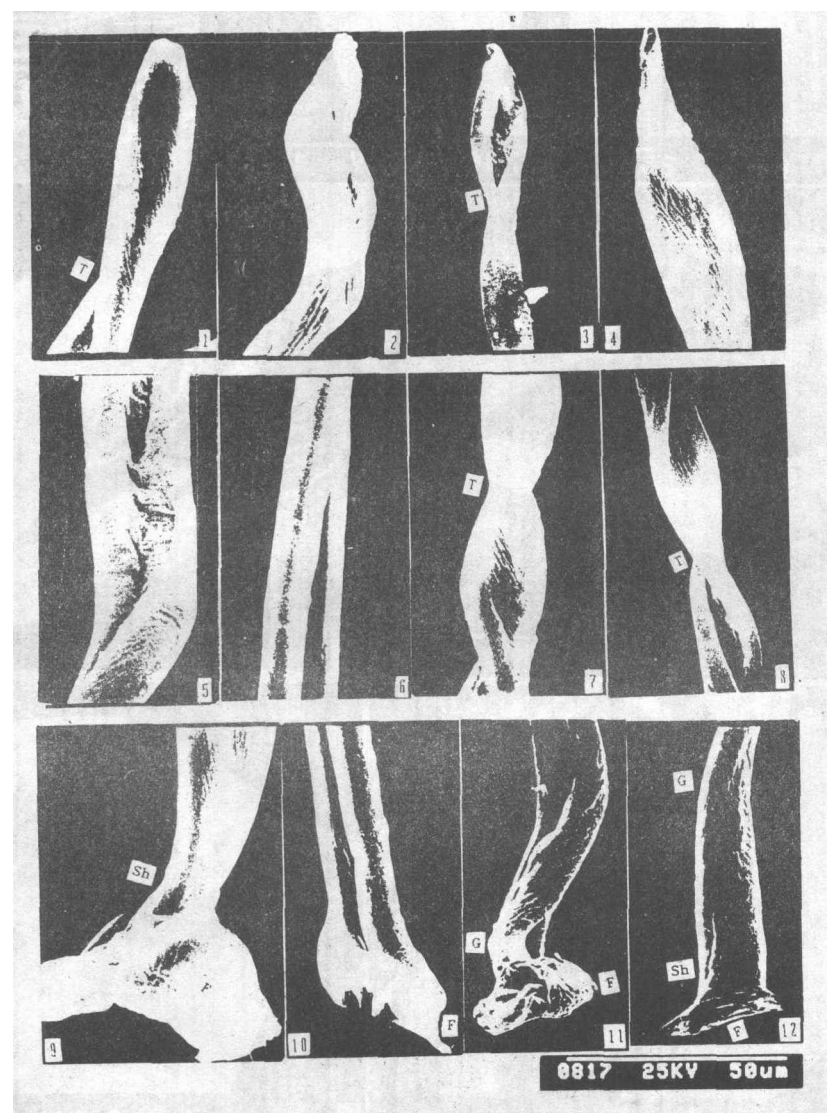
前人研究纤维形态与成纱强度时,通常认为成熟纤维的自然扭曲与纺纱时纤维间的相互抱合力有关[4.6],而关于纤维表面皱纹形态分布及作用等,国内外却很少有人研究。本研究中观察到纤维表面有皱纹存在,海岛棉的皱纹较多并相互近似平行,它与纤维的纵轴成一定角度。这种皱纹无疑能增加纤维间的接触面,在纺纱中单纤维表面皱纹的相互接触,可以形成一种嵌合状态,和纤维的自然扭曲一样,能增大纤维间的抱合力,对成纱有利。

在研究纤维的微观结构中,曾期望从纤维的纵、横断面上直观地观察小纤维束、巨原纤、原纤、微原纤等[*]的形态及排列方式。但是,受制样过程中各种处理的影响及观有制样技术的限制,至今报道的文献中尚未见到清晰的并能客观反映纤维结构的照片。本研究采用简单的制样技术,在观察中获得较清晰的有关纤维断裂后呈页状或片状的分层结构[*]、以及断面上呈现出小纤维束的照片。但对纤维的细微结构仍未能有更多的了解,从横切面上观察纤维的结构同样也有困难。在以后的研究中,尚需进一步改进制祥技术,以便能观察到清晰的超微结构。

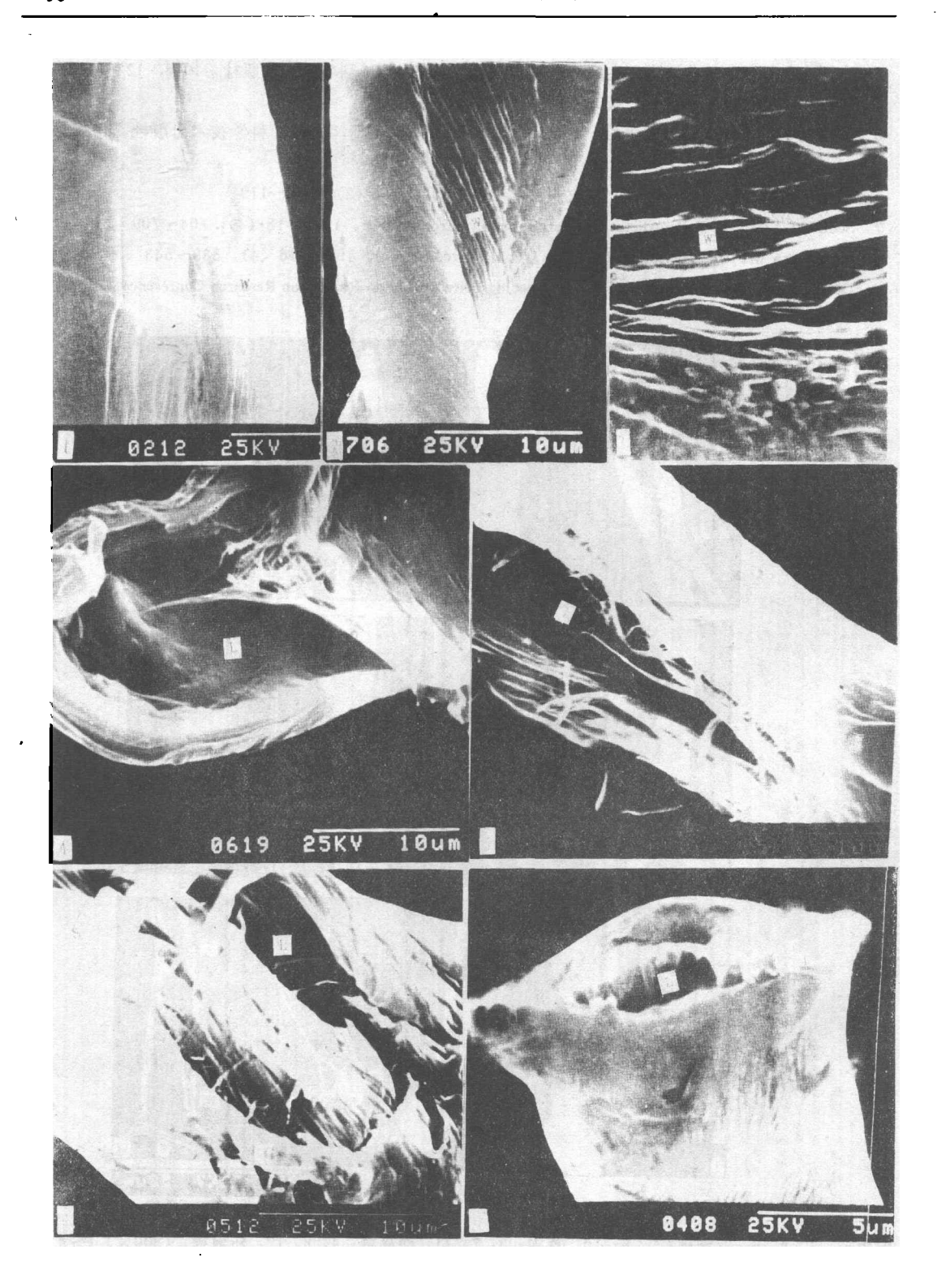
多考文献

1 李正理·梅花形态·北京。科学出版社,1979.158~160

- 2 上海市农业科学院编著. 组织解剖. 上海, 科学技术出版社, 1988. 90~91
- 3 中国农业科学院棉花研究所主编. 中国棉花栽培学. 上海, 科学技术出版社, 1983. 123~133
- 4 陈长海. 纤维标准与检验. 1988 (7), 11~12
- 5 南京农学院、江苏农学院主编. 作物栽培学(南方本)下册. 上海, 科学技术出版社, 1980.34~36
- 6 徐楚年, 余炳生, 张仪等. 北京农业大学学报, 1988, 14 (2), 113~119
- 7 Schubert A M, C R Benedict, J D Berlin, et al. Crop Science, 1973, 13 (4), 704~709
- 8 Schubert A M, C R Benedict, C E Gate, et al. Grop Science, 1976, 16 (4): 539~543
- 9 De Langhe E A L. Lint development. Proceeding Beltwide Cotton Production Research Conferences, 1980, 366
 ~376



图版 I: 1, 5, 9: 亚洲棉, 2, 6, 10, 草棉, 3, 7, 11: 海岛棉, 4, 8, 12: 陆地棉。(800×) 1~4 成熟纤维顶端, T. 扭曲。5~8: 纤维中部, 9~12: 纤维基部, F. 脚, Sh. 胫, G. 膝。



图版 I:1. 亚洲棉成熟纤维中部表面, W. 皱纹。(2 500×) 2. 海岛棉纤维表面, W. 皱纹。(2 500×) 3. 纤维表面局部放大。(6 000×) 4. 陆地棉纤维断裂面, I. 中腔。(2 500×) 5. 亚洲棉纤维断裂面, I. 中腔,S. 次生壁。(2 500) 6. 亚洲棉纤维断裂面。(3 000×) 7. 海岛棉纤维横切面,I. 中腔,S. 次生壁。(4 700×)